

2상 타이타늄 합금의 저온/고속 초소성

박찬희¹ · 이종수[#]

Low-temperature/high-strain rate superplasticity of two-phase titanium alloys

C. H. Park, C. S. Lee

Abstract

The current understanding for phase/grain boundary sliding and low-temperature/high-strain rate superplasticity of two-phase titanium alloys is summarized. The quantitative analysis on boundary sliding revealed increased sliding resistance on the order of $\alpha/\beta \ll \alpha/\alpha \approx \beta/\beta$ boundary, hence, led to the conclusion that approximately 50 % alpha(or beta) volume fraction and/or grain refinement is beneficial for obtaining large superplastic elongation at low temperature and/or high strain rate. To predict the temperature for 50% alpha volume in various alpha/beta Ti, artificial neural network was applied. Finally, much enhanced superplasticity was achieved through grain refinement utilizing dynamic globularization.

Key Words: Titanium, Superplasticity, Artificial Neural Network, Severe Plastic Deformation, Dynamic Globularization

1. 서 론

2상(two phase) 타이타늄 합금은 우수한 비강도, 내식성, 고온강도 등의 특성을 가지고 있기 때문에 항공기 구조용 소재로 광범위하게 사용되고 있다. 특히, 높은 고온 연신율을 바탕으로 한 초소성 성형 및 확산 접합은 부품의 무게 및 재조비용의 감소를 가능하게 하므로 산업적 잠재력이 크다. 그러나 일반적으로 초소성은 성형은 850 °C 이상의 높은 가공온도 또는 10^3 s^{-1} 이하의 느린 가공속도에서만 가능하므로[1], 부품 재조의 순환이 느리고 다이(die) 비용과 에너지의 소비가 크다는 단점이 있다. 그러므로 750 °C 이하의 저온 또는 10^2 s^{-1} 이상의 고속 초소성 성형 기술이 요구되고 있다.

한편, 2상 타이타늄 합금은 단상(single phase) 소재와 달리 α/α , β/β , α/β 의 계면적이 결정립 크기 및

온도에 따라 변화하므로, 저온/고속 초소성을 위해서는 우선 이러한 미세조직적 인자가 초소성의 주 기구인 결정립계 미끄러짐 현상에 미치는 영향이 규명되어야 한다. 이를 위해 Kim 등[2]은 2상 타이타늄의 각 계면이 상경계/결정립계 미끄러짐(phase/grain boundary sliding, P/GBS)에 미치는 영향을 정량적으로 파악했다.

한편, Reddy 등[3]은 온도에 대한 상분율의 변화를 예측했으며, Ko 등[4] 및 Park 등[5]은 강소성 가공 및 동적 구상화를 이용해 결정립을 미세화 시킨 후 저온/고속 초소성을 보였다.

본 연구에서는 2상 타이타늄의 P/GBS에 미치는 각 계면의 영향을 정리한 후 미세조직 변화 예측 및 제어를 통한 저온/고속 초소성 특성을 체계적으로 고찰하고자 하였다.

2. 본 론

1. 포항공과대학교 신소재공학과

교신저자: 포항공과대학교 신소재공학과,
E-mail: cslee@postech.ac.kr

2.1 P/GBS에 대한 각 계면의 영향

2상 타이타늄 합금은 그 특성상 α/α , β/β 의 결정립계(grain boundary) 및 α/β 의 상경계(phase boundary)를 가지고 있는데, 초소성 구간에서는 온도의 증가에 따라 베타 상분율이 증가 하므로 이에 따라 각 계면의 비율도 변화한다. 그러므로 초소성 특성 향상을 위해서는 초소성의 주 기구인 P/GBS에 유리한 계면을 파악하는 것이 중요하다.

Kim 등[2]은 Ti-6Al-4V 합금에 대해 Peters 등[6]에 의해 제안된 열처리법을 사용하여 결정립 크기를 $\sim 3 \mu\text{m}$ 로 미세화 시키고 $875, 900, 925^\circ\text{C}$ 에서 추가 열처리를 통해 베타상 분율을 각각 34 %, 48 %, 64 %로 제어한 후 800°C 에서 응력 이완 및 인장 실험을 실시해 각 계면이 P/GBS에 미치는 영향을 분석하였다. 우선 응력 이완 실험결과를 Ha 등[7]이 제안한 내부변형 변수 이론을 바탕으로 분석한 결과 48 %의 베타 상분율을 가지는 경우 계면 미끄러짐 현상에 대한 마찰 저항력이 가장 낮은 것으로 밝혀 졌고 이는 α/β 상계면이 P/GBS에 가장 유리함을 의미한다. 또한 인장 실험 후 전체 변형에 대한 각 계면의 분율을 측정한 결과 역시 α/β 의 상계면 미끄러짐이 α/α , β/β 의 결정립계 미끄러짐 보다 우세함을 보였다(Fig. 1).

결론적으로 Kim 등[2]의 연구에 의하면 P/GBS를 위해서는 α/β 계면의 분율이 높을 수록 유리하다는 것을 알수 있다. 이를 근거로 판단할 때 초소성 특성을 향상시키기 위해서는 다음의 2가지

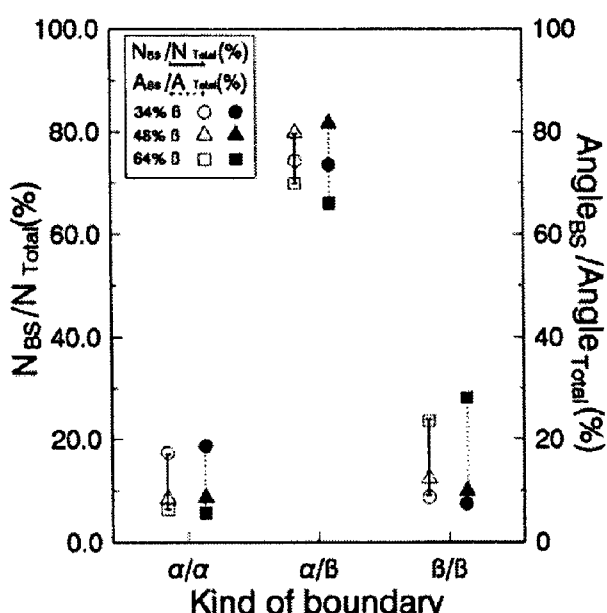


Fig. 1 The amount of boundary sliding measured in the specimens elongated up to 30 %[2].

방법이 효과적이다. 첫번째는 동일한 결정립 크기 하에서 알파와 베타 상분율을 5:5로 하는 것이고 동일한 알파/베타 상분율에서는 결정립 크기를 작게 하는 것이다.

2.2 인공신경망을 활용한 초소성 최적화

Reddy 등[3]은 2상 타이타늄 합금의 온도에 대한 상분율 변화가 알파 및 베타 안정화 원소의 첨가량에 의해 결정된다는 사실에 기인하여 인공신경망(artificial neural network)을 이용해 2상 타이타늄 합금의 상분율 변화를 효과적으로 예측 하였고, 본 연구에서는 이를 통한 초소성 최적화를 소개 하고자 한다. Kim 등[2]의 결과에 따르면 동일한 결정립 크기 하에서는 알파와 베타의 상분율이 5:5인 경우 α/β 계면적이 가장 커지므로 초소성에 유리하다. 그러나 2상 타이타늄 합금의 종류는 다양할 뿐만 아니라 Ti-6Al-4V 합금과 같은 동일한 합금을 제조 할지라도 합금원소 첨가량은 달라지므로 초소성 최적화를 위해서는 각 소재에 대하여 일일이 온도에 대한 상분율 측정이 필요하다. 그러나 인공신경망 기법을 활용하여 소모적

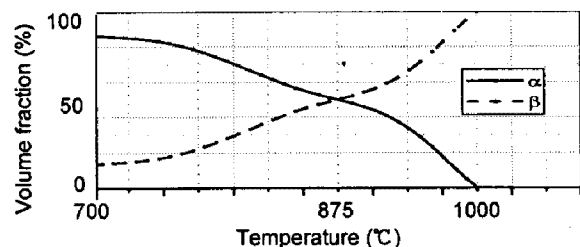


Fig. 2 Predicted phase volume fraction of Ti-6Al-4V alloy using artificial neural network.

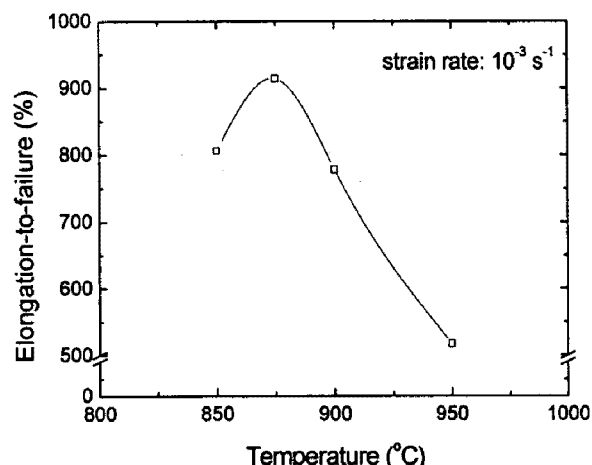


Fig. 3 Total elongation of Ti-6Al-4V alloy with variation of test temperature.

인 실험을 생략하고 합금원소의 첨가량만으로 초소성 최적화 온도를 예측 할수 있다. Fig. 2는 5.83 Al, 3.87 V, 0.09 Fe, 0.11 O, 0.013 C, Bal. Ti의 화학조성을 가지는 Ti-6Al-4V 합금에 대한 상분율 변화를 인공신경망을 활용하여 예측한 결과이고, Fig. 3은 인장 실험결과이다. 본 소재의 경우 875 °C에서 5:5의 상분율을 가지고 결과 역시 동일 온도에서 최대의 연신율을 보였다.

결론적으로 인공신경망을 활용하여 5:5의 상분율을 가지는 온도를 예측한 후 기존의 방법에 비해 효과적으로 초소성을 최적화 할수 있다.

2.3 강소성 가공을 활용한 초소성 향상

Ti-6Al-4V 나 Ti-6Al-2Sn-4Zr-2Mo-0.1Si와 같은 대표적인 2상 타이타늄 합금은 700 °C이하에서 약 90 %의 일정한 알파 상분율을 가진다. 이러한 경우 계면 미끄러짐에 유리한 α/β 계면적을 증가시키기 위해서는 결정립 미세화가 효과적이다.

Ko 등[4]은 강소성 가공의 하나인 ECAP(equal-channel angular pressing)를 사용하여 난가공 소재로 알려진 Ti-6Al-4V 합금의 결정립 크기를 초기 11 μm 에서 0.3 μm 까지 미세화 시켰다. 이후 초기 조직과 미세화된 조직에 대해 600 ~ 700 °C, $5 \times 10^{-5} \sim 10^2 \text{ s}^{-1}$ 의 구간에서 인장실험을 실시 한 결과 미세화된 경우 300 % 이상의 연신율을 가지며 저온 초소성 특성을 보였다(Fig. 4). 이러한 결과는 동일한 조건하에서 초기 미세조직과 비교할때 약 3배 이상 향상된 것이다.

한편, 변형율속도 민감도지수(strain rate sensitivity, m)를 계산한 결과 초기 조직은 변형율속도에 상

관없이 약 0.11의 동일한 값을 보인 반면 미세화된 조직은 구간 I, II, III의 3부분으로 구분 되었으며 높은 연신율을 보이는 구간 II에서의 m 값은 0.34였다. 이러한 m 의 증가는 결정립 미세화에 의한 α/β 계면적의 증가가 상경계 미끄러짐 현상을 원활히 하기 때문이라 판단된다. 또한 이에 대한 정량적인 연구 결과, 초기 소재의 경우 전체 변형량에 대한 P/GBS로 인한 변화가 약 10 % 이하인 반면 미세화된 소재의 경우 그 비율이 약 45 %로 증가했다.

2.4 동적 구상화를 활용한 초소성 향상

동적 구상화는 타이타늄 합금의 대표적인 결정립 미세화 방법중 하나로 초기조직을 층상조직으로 유도한 다음 변형을 가하여 층 구조를 미세한 등축조직으로 분절시키는 방법이다. Peters 등[5]은 마르텐사이트 조직의 부분적인 동적 구상화 이후 추가적인 어닐링을 통하여 미세한 등축조직(3 μm)을 제어한 바 있다.

한편, Park 등[5]은 ELI급 Ti-6Al-4V 합금을 마르텐사이트 조직으로 유도한 다음 동적 구상화 분율 및 동적 구상화 후 결정립 크기에 미치는 변형량, 변형율속도, 변형온도 등의 영향을 정량적으로 파악한 후 최적의 가공 조건을 변형온도 800 °C, 변형율속도 10^{-1} s^{-1} , 변형량 1.4로 설정했다. 최적의 가공 조건에서 동적 구상화를 시킬 경우 후 어닐링의 생략이 가능했으며, 인장 실험 결과 동적 구상화 후 추가 어닐링을 생략한 미세 조직은 Peters 등[6]에 의한 방법과 비교해 향상된 초소성 특성을 보였고, 특히 875 °C, 10^{-1} s^{-1} 에서 1000 % 이상의 고속 초소성을 보였다. 또한 Ti-6Al-2Sn-4Zr-2Mo-0.1Si 합금에 대해서도 동일한 조건에서 동적 구상화를 통해 결정립을 미세화 할 수 있었으며 초기 조직(13 μm)과 비교하여 동적 구상화 이후 조직(2.2 μm)은 2.5배 향상된 저온 초소성을 보였다(Fig. 5).

추가 어닐링을 생략하고 동적 구상화 만으로 조직을 미세화 시킬때는 이전 방법과 비교하여 구상화 후 결정립 성장을 억제할수 있으며 결정립계 주위의 높은 전위 밀도로 인한 결정립계 확산계수 증가에 의해 P/GBS시 삼중점에서의 응력 집중을 효과적으로 수용할수 있다. 또한 베타상이 분절되어 알파상 주위에 존재하게 되므로 α/β 계면적을 증가시켜 초소성 향상을 가져오는 것으로 판단된다.

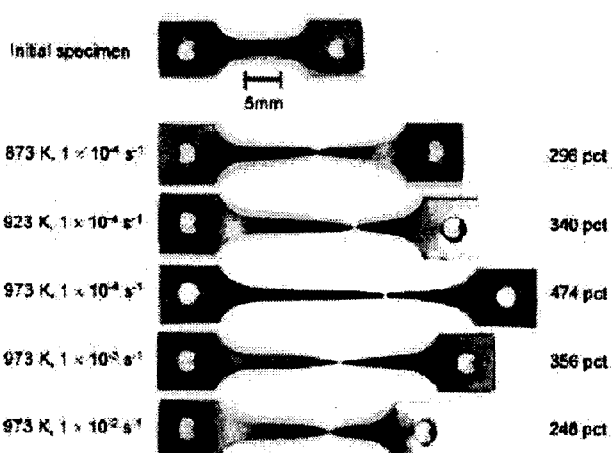


Fig. 4 Tensile elongation of the ECAPed Ti-6Al-4V alloy test at 600 ~ 700 °C[4].

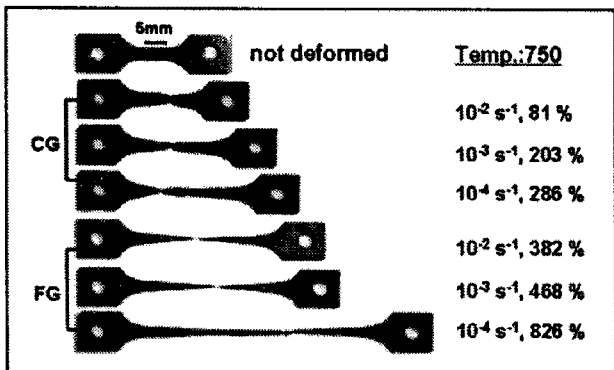


Fig. 5 Tensile elongation of initial(coarse-grained, CG) and dynamically globularized(fine-grained, FG) Ti-6Al-2Sn-4Zr-2Mo-0.1Si alloy.

3. 결 론

2상 타이타늄 합금의 P/GBS에는 α/β 상계면이 α/α , β/β 결정립계면 보다 유리하므로 결정립 크기가 동일할 경우 알파와 베타 상분율이 5:5인 온도가 초소성에 적합하며 인공신경망 기법을 이용해 소모적인 실험 없이 초소성 온도를 최적화 할 수 있었다. 한편, 상분율이 동일할 경우 결정립 미세화는 α/β 상계면 증가에 효과적이며 ECAP 또는 동적 구상화를 통한 결정립 미세화는 저온/고속 초소성을 가능하게 했다.

4. 후 기

본 연구에 도움을 주신 경북대학교 신소재공학과 김지식 교수님, 영남대학교 신소재공학과 고영건 교수님, 포항공대 철강대학원 N. S. Reddy 박사님께 감사 드립니다.

참 고 문 헌

- [1] M. T. Cope, D. R. Evetts, N. Ridley, 1986, Superplastic deformation characteristics of two microduplex titanium alloys, *J. Mater. Sci.*, Vol. 21, pp. 4003~4008.
- [2] J. S. Kim, Y. W. Chang, C. S. Lee, 1998, Quantitative analysis on boundary sliding and its accommodation mode during superplastic deformation of two-phase Ti-6Al-4V alloy, *Metall. Mater. Trans.*, Vol. 29A, pp. 217~226.
- [3] N. S. Reddy, C. S. Lee, J. H. Kim, S. L. Semiatin, 2006, Determination of the beta-approach curve and beta-transus temperature for titanium alloys using sensitivity analysis of a trained neural network, *Mater. Sci. Eng. A*, Vol. A434, pp. 218~226.
- [4] Y. G. Ko, C. S. Lee, D. H. Shin, S. L. Semiatin, 2006, Low-temperature superplasticity of ultra-fine-grained Ti-6Al-4V processed by equal-channel angular pressing, *Metall. Mater. Trans.*, Vol. 37A, pp. 381~391.
- [5] C. H. Park, Y. G. Ko, J.-W. Park, C. S. Lee, 2008, Enhanced superplasticity utilizing dynamic globularization of Ti-6Al-4V alloy, *Mater. Sci. Eng. A*, Vol. A 496, pp. 150~158.
- [6] M. Peters, G. Lutjering, G. Ziegler, 1983, Control of microstructures of (alpha plus beta)-titanium alloys, *Z. Metall.*, Vol. 74, pp. 274~282.
- [7] T. K. Ha, Y. W. Chang, 1998, An internal variable theory of structural superplasticity, *Acta Mater.*, Vol. 46, pp. 2741~2749.